

риде кадмия—ртути [1]. Качество диодов в этом случае ухудшалось за счет ограничения плотности используемой мощности лазерного импульса для обеспечения акцепторного характера вводимой примеси, а также из-за низкой подвижности основных носителей заряда в дефектном слое  $p$ -типа.

### Л и т е р а т у р а

- [1] Горин Е. А. Об эффективности лазерного легирования полупроводников. — ФТП, 1984, т. 18, в. 9, с. 1696—1698.  
 [2] Fairfield J. M., Schmittke G. H. — Sol. St. Electron., 1968, v. 11, N 12, p. 1175—1176.  
 [3] Harper F. E., Cahen M. J. — Sol. St. Electron., 1970, v. 13, N 7, p. 1103—1109.  
 [4] Двуреченский А. В., Качурин Г. А., Нидаев Е. В., Смирнов И. С. Импульсный отжиг полупроводниковых материалов. М., 1982. 208 с.  
 [5] Горин Е. А., Бережная И. А., Янко Г. И. О получении инверсионного слоя на антимо-ниде индия при импульсном лазерном облучении. — Поверхность, Физика, химия, механика, 1982, № 9, с. 47—49.  
 [6] Горин Е. А., Иванова О. С., Шукарев А. В., Янко Г. И., Анализ состава приповерхностной области лазерно легированных монокристаллов  $Pb_{0,8}Sn_{0,2}Te$ . — Зав. лаб., 1986, т. 52, в. 8, с. 30—32.  
 [7] Голошихин П. В., Горин Е. А., Шукарев А. В. О роли кислорода в фотостимулированном формировании инверсионных слоев на сложных халькогенидных соединениях. — В кн.: Тез. докл. II Всес. конф. «Материаловедение халькогенидных и кислородосодержащих полупроводников». Черновцы, 1986, ч. I, с. 183.  
 [8] Зи С. Физика полупроводниковых приборов, т. 1. М., 1984. 456 с.

Получено 3.04.1987

Принято к печати 21.07.1987

ФТП, том 22, вып. 2, 1988

## ЛИНЕЙНО-ЦИРКУЛЯРНЫЙ ДИХРОИЗМ ДВУХФОТОННОГО ПОГЛОЩЕНИЯ И САМОДЕФОКУСИРОВКА ИЗЛУЧЕНИЯ НЕОДИМОВОГО ЛАЗЕРА В КРИСТАЛЛАХ $n$ -InP

Арешев И. П., Субашиев В. К., Фараджев Б. Г.

В работе [1] нами была обнаружена самодефокусировка импульсного излучения ( $\tau_{\mu} \approx 100$  нс на полувысоте) неодимового лазера ( $\hbar\omega = 1.17$  эВ) в кристаллах  $n$ -InP ( $n = 4.2 \cdot 10^{18}$  см $^{-3}$  при  $T = 300$  К) по характерному «провалу» в поперечном распределении интенсивности прошедшего через образец излучения при измерении в ближнем поле (т. е. при  $z < kr_0^2/2$ , где  $z$  — расстояние от выходной поверхности образца в направлении распространения излучения лазера,  $r_0 = 150$  мкм — радиус гауссова распределения амплитуды пучка на поверхности образца,  $k = 2\pi/\lambda$ ).

Поскольку ширина запрещенной зоны в кристалле InP  $E_g = 1.35$  эВ при  $T = 300$  К, то естественно было предположить, что самодефокусировка интенсивного излучения неодимового лазера (пиковая интенсивность  $j_p \approx 8$  МВт/см $^2$ ) вызвана изменением показателя преломления за счет неравновесной концентрации двухфотонно возбужденных электронно-дырочных пар. Из сопоставления экспериментальных результатов с модельными теоретическими расчетами в [1] даны оценки эффективного времени жизни неравновесных носителей  $\tau_s \approx 30$  нс и константы двухфотонного поглощения (ДФП)  $\beta \approx 0.06$  см/МВт.

В [1] все эксперименты проводились с линейно-поляризованным излучением. Поскольку, однако, для кристаллов кубической симметрии в общем случае константа ДФП имеет поляризационную зависимость, согласно [2],

$$\beta(e) = a_1 |e \cdot e|^2 + a_2 |e \times e^*|^2 + a_3 (|e_x|^4 + |e_y|^4 + |e_z|^4), \quad (1)$$

где  $e$  — вектор поляризации света ( $e \cdot e^* = 1$ ),  $x, y, z$  — главные оси симметрии кристалла, то можно было ожидать проявления этой зависимости и в самодефокусировке излучения.

Зависимость константы ДФП  $\beta$  от поляризации света в кристаллах  $A^{III}B^V$  изучалась по двухфотонно возбуждаемой люминесценции в InSb [2], в GaAs и GaAs<sub>1-x</sub>P<sub>x</sub> [3, 4], в вырожденных образцах InSb — по двухфотонно возбуждаемой фотопроводимости [5].

В данной работе впервые экспериментально исследован и рассчитан линейно-циркулярный дихроизм (ЛЦД) двухфотонного поглощения излучения неодимового лазера в кристалле InP. В эксперименте были сняты распределе-

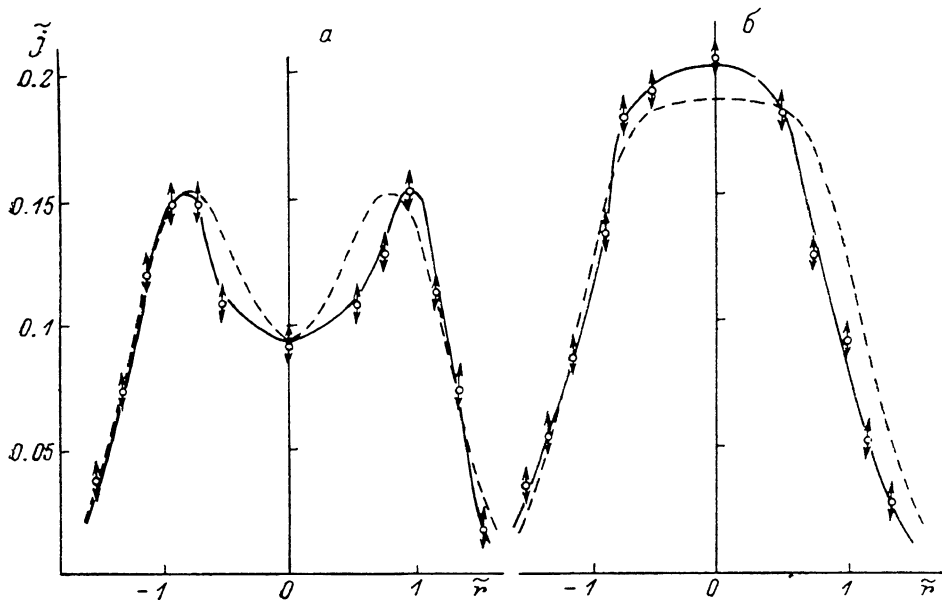


Рис. 1. Распределение интенсивности  $\tilde{j} = j/j_p$  в поперечном сечении излучения неодимового лазера за образцом  $n$ -InP на расстоянии  $z = 55$  мм в момент времени, соответствующий максимуму в падающем импульсе.

Сплошные линии — эксперимент, штриховые — теория. Поляризация:  $a$  — линейная,  $b$  — циркулярная.  $j_p = 8$  МВт/см<sup>2</sup>.

ния интенсивности в поперечном сечении лазерного пучка после прохождения тонкой клиновидной пластинки  $n$ -InP ( $h = 650$  мкм) на расстоянии 55 мм от выходной поверхности образца. Методика регистрации, обработка полученных данных и условия эксперимента (образец, температура, геометрия) были аналогичны описанным в [1], но и в отличие от [1] измерения были проведены для излучения как с линейной, так и с циркулярной поляризациями. На рис. 1 показаны экспериментальные и расчетные распределения интенсивности прошедшего пучка в момент времени, соответствующий пиковому значению интенсивности в падающем на образец пучке для линейной ( $a$ ) и циркулярной ( $b$ ) поляризаций. Расчетные кривые построены с использованием теории самодефокусировки гауссова пучка тонкой нелинейной полупроводниковой пластинкой по формулам работы [1], модифицированным с учетом начальной расходимости падающего на образец лазерного пучка. Параметры в теоретическом расчете подбирались из условия наилучшего согласия с экспериментом. Это дало  $a = 2\tau_n/\tau_s = 10$ ,  $\mu_n = 14$  и  $\mu_n = 7.8$ , где

$$\mu_{n, n} = \frac{\lambda_0^2 \tau_n (1 - R)^2}{4c^2 N_{00} m^* h_{0,0} z_0} (1 - e^{-2\alpha_0 h}) j_p^2 \beta_{n, n}. \quad (2)$$

Таким образом, величина ЛЦД двухфотонного поглощения излучения неодимового лазера в InP оказалась равной  $\beta_{,}/\beta_{n,} = \mu_{,}/\mu_n = 1.8$ , что значительно превышает соответствующую величину в InSb (1.1 по данным [2]) и GaAs (1.5 по данным [3, 4]).

Мы вычислили значение ЛЦД, воспользовавшись теорией ДФП в кристаллах  $A^{III}B^V$ , развитой в [3, 6] в рамках двухзонной модели Кейна для произвольного соотношения параметров  $2\hbar\omega - E_g$ ,  $E_g$  и  $\Delta$  ( $\Delta$  — величина спин-орбитального расщепления валентной зоны). Зонная структура кристалла в этой модели сферически симметрична, и в коэффициенте ДФП отсутствует линейный дихроизм ( $a_3 = 0$ ,  $\beta_{||}/\beta_{\perp} = a_1/a_2$ ). При  $2\hbar\omega = 2.34$  эВ,  $E_g = 1.35$  эВ и  $\Delta = 0.1$  эВ расчет дает  $\beta_{||}/\beta_{\perp} = 1.502$ , что весьма близко к значению  $\beta_{||}/\beta_{\perp} = 1.526$ , полученному по простой формуле, следующей из этой модели при  $\Delta = 0$  [6].

Отметим, что экспериментальное значение ЛЦД довольно существенно превышает расчетное, что имело место и для GaAs [3, 4]. В [3, 4] этот факт был объяснен неучетом в теории ДФП лежащих ниже и выше энергетических зон, учет которых приводит, вообще говоря, к анизотропии энергетического спектра кристалла и константы ДФП [ $a_3 \neq 0$  в формуле (1)]. Анизотропия ДФП при линейной поляризации излучения действительно наблюдалась в GaAs [3, 4]. Соответствующие эксперименты в нашем случае не дали сколько-нибудь заметного изменения эффекта самодифракции при повороте вектора линейной

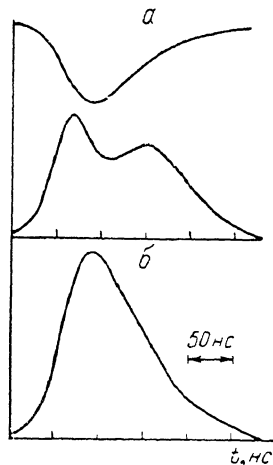


Рис. 2. Временные формы импульсов излучения, прошедшего через диафрагму диаметром 30 мкм, расположенную на расстоянии  $z=55$  мм за образцом.

Вверху показана временная форма падающего на образец импульса излучения. Поляризация:  $a$  — линейная,  $b$  — циркулярная.

поляризации излучения, падающего на пластинку InP в направлении [001]. Этот факт, по-видимому, позволяет утверждать, что для кристаллов InP учет лежащих ниже и выше зон не приводит к анизотропии энергетического спектра, но весьма существен для получения правильной расчетной величины ЛЦД.

Значительная величина ЛЦД ДФП в кристалле  $n$ -InP довольно ярко проявляется в искажении временной формы лазерного импульса, прошедшего после образца через диафрагму диаметром 30 мкм. На рис. 2 показаны осциллограммы прошедших импульсов для линейной ( $a$ ) и циркулярной ( $b$ ) поляризации излучения при  $j_{\mu} = 8$  МВт/см<sup>2</sup>. Видно, что для линейной поляризации излучения временная форма прошедшего импульса сильно искажена по сравнению с формой падающего импульса из-за эффекта самодифракции, в то время как при циркулярной поляризации излучения искажения временной формы прошедшего импульса практически нет.

Авторы выражают признательность Е. Л. Ивченко за полезное обсуждение затронутых в работе вопросов.

#### Л и т е р а т у р а

- [1] Арешев И. П., Субашиев В. К., Фараджев Б. Г. Динамика самодифракции излучения неодимового лазера в кристаллах  $n$ -InP. — ФТП, 1987, т. 21, в. 5, с. 893—899.
- [2] Данишевский А. М., Ивченко Е. Л., Кочегаров С. Ф., Степанова М. И. Зависимость коэффициента двухфотонного поглощения от поляризации света в полупроводниках кубической симметрии. — Письма ЖЭТФ, 1972, т. 16, в. 11, с. 625—628.
- [3] Дворников Д. П., Ивченко Е. Л., Першин В. В., Ярошецкий И. Д. Нелинейное поглощение света в кристаллах  $A^{III}B^V$ . — ФТП, 1976, т. 10, в. 12, с. 2308—2315.
- [4] Дворников Д. П., Ивченко Е. Л., Ярошецкий И. Д. Линейно-циркулярный дихроизм в кристаллах  $A^{III}B^V$  вблизи края двухфотонного поглощения. — ФТП, 1978, т. 12, в. 8, с. 1574—1575.
- [5] Данишевский А. М., Ивченко Е. Л., Кочегаров С. Ф., Степанова М. И. Линейно-циркулярный двухфотонный дихроизм в вырожденном антимониде индия. — Письма ЖЭТФ, 1972, т. 17, в. 4, с. 181—183.
- [6] Ивченко Е. Л. Новые оптические явления в полупроводниках со сложной зонной структурой. — Автореф. докт. дис. Л., 1981.